

دراسة نسيجية مناعية كيميائية لتأثير وحدات تماثر الكمبوزيت المرمم في حيوية لب السن باستخدام الواسمات الحيوية Ki-67 و p53

* د . حسان الحلبي

(الإيداع: 5 آب 2019 ، القبول: 15 آيلول 2019)

الملخص:

تتفاوت بشدة التأثيرات الجانبية لإجراءات تحضير ترميم النخور السنوية في حيوية لب السن، بل يمكن أن تتفاقم في الترميمات القريبة من اللب، مؤدية إلى اضطراب خطير في وظائفه الأساسية، ومن ثم إلى تموته على المدى البعيد. يهدف البحث إلى تقصي التأثيرات الجانبية لنفوذ وحدات تماثر ترميمات الكمبوزيت العميق، عبر الفنون العاجية، في نسبة وطبيعة الانقسام الخلوي في لب السن.

أجريت الدراسة على أسنان بشرية معدة للقلع التقويمي، قسمت الأسنان إلى (9) مجموعات لدراسة تأثير تقنية التخريش، ومدة التصليب الضوئي لترميمات الكمبوزيت العميق، في نسبة وطبيعة الانقسام الخلوي في لب السن، اعتماداً على الوسم النسيجي المناعي الكيميائي باستخدام الأضداد وحيدة النسيلة Ki-67 و p53. تم الوسم بعد مرور 3 أسابيع و 3 أشهر من الترميم. روقبت التغيرات الطارئة في مستوى تعبير هذه البروتينات بناء على معايير كمية متدرجة من حيث مدى انتشار ودرجة تركيز التلوين لخلايا لب السن.

بيّنت التحاليل الإحصائية ($P < 0.05$) وجود فروق جوهرية بين بعض مجموعات الدراسة. روقبت أدنى حالات اضطراب اللب عند التخريش الذاتي وفترة التصليب الطويلة للكمبوزيت، وكانت مستويات تعبير البروتينات Ki-67 و p53 منخفضة. روقبت أسوأ حالات اللب اضطراباً عند التخريش الكامل وفترة التصليب القصيرة للكمبوزيت، لوحظ ارتفاع متزامن فمستويات تعبير البروتينات Ki-67 و p53، مشيرة إلى آذية محتملة لسلسلـ الـ DNA في الخلايا الانقسامية. نستنتج أنه يمكن لوحدات التماثر المرتاحة أن تسبب إجهاداً تآكسدياً وتعباً لبياً مبكراً في حالة ترميمات الكمبوزيت القريبة من لب السن، لذلك يوصى باستخدام التخريش الذاتي لمحافظته على نفوذية عاجية معتدلة، وتطبيق زمان تصليب مديد لتحسين نسبة تحويل عملية التماثر.

الكلمات المفتاحية: وحدات التماثر، النفوذية العاجية، التخريش الكامل والذاتي، الوسم النسيجي المناعي الكيميائي، مشعر الانقسام الخلوي Ki-67، البروتين الكابح للانقسام الخلوي p53.

*أستاذ مساعد - رئيس قسم مداواة الأسنان - عميد كلية طب الأسنان - جامعة حماه

Immunohistochemical Study of Restorative Composite Monomers Effect on Dental Pulp Vitality Using Biomarkers Ki-67 and p53

Dr. Hassan AL HALABIAH

(Received: 5 August 2019, Accepted: 15 September 2019)

Abstract:

The sides effects of dental caries preparation and restoration on pulp vitality vary significantly, and could exacerbate in deep restorations, leading to serious functional disorder then necrosis of pulp at the long term. The aim of this study is to investigate the effect of monomers penetration of deep composite restoration, *via* dentinal tubuli, on the rate & nature of cellular division in dental pulp. Human teeth, scheduled for orthodontic extraction, have been used, where divided into (9) groups to follow the effects of etching technique, and light-curing period of deep composite restorations on cellular division in dental pulp, using immunohistochemical marking *via* monoclonal antibodies Ki-67 and p53. Marking carried out after 3 weeks and 3 months from restoration, modifications in Ki-67 and p53 expression levels were followed, and function of gradual quantitative criteria regarding spreading and concentration index of pulpal stained cells. Statistical Analysis ($P<0.05$) show significant differences between some studied groups. The minimal pulp disorders are detected using Self-etching, with long light-curing period, showing reduced expression level of Ki-67 and p53. The maximal pulp disorders are detected using total etch, with short light-curing period, showing simultaneous increasing level of Ki-67 and p53 expression, indicating a potential injury in DNA chains of mitotic cells. We conclude that the dentinal infiltrated monomers could cause oxidative stress and early pulp fatigue in deep composite restorations, so it is recommended to use self-etching, maintaining moderate dentinal permeability, and long light-curing period, in order to improve the polymerization conversion rate.

Key words: monomers, Dentinal permeability, total etch & self-etching technique, Immunohistochemical marking, division index Ki-67, division suppression Protein p53.

*Dean of Faculty of Dentistry – Hama University

1-المقدمة :

يشيع استخدام الكمبوزيت لترميم الإصابات الخيرية التي تتعرض لها الأسنان أثناء أدائها الوظيفي ضمن البيئة الفموية. طرأ الكثير من التطور والتحسين على الخصائص التقنية والتركيب البنوي والمواصفات الميكانيكية والتجميلية للمادة، ما أدى إلى زيادة العمر الوظيفي لهذه الترميمات بشكل واضح، إلا أن تقبلها الحيوي مازال يفتقد للدراسات المعمقة (Goldberg, 2008). لا ترتبط الآثار الجانبية الحيوية السلبية لترميمات الكمبوزيت بإجراءات التطبيق فحسب، بل تمتد لتشمل مرحلة الاستخدام السريري على المدى البعيد. من غير الواضح فيما إذا كانت هذه التأثيرات عابرة أم دائمة، موضعية أو عامة، آنية أو تالية، الأمر الذي يستلزم أبحاثاً دقيقة وموجهة وذات موثوقية عالية لتحبيب بشكل حاسم عن هذه التساؤلات (Demirci وزملاؤه، 2008). إن إدراك العوامل والمتغيرات التي من شأنها أن تعزز التقبل الحيوي لترميمات الكمبوزيت أصبح ضرورة ملحة كون هذه الترميمات أصبحت خياراً علاجياً حتمياً في كثير من الحالات (Moharamzadeh وزملاؤه، 2009).

تدرج هذه الدراسة ضمن الأبحاث السريرية، التي تبين الآثار الحيوية الموضعية لترميمات الكمبوزيت على المدى القريب والمتوسط، فيما يتعلق بحالة وطبيعة الانقسام الخلوي في لب السن المرمم، باستخدام تقنية الوسم النسيجي المناعي الكيميائي لبروتينات دورة الانقسام الخلوي Ki-67 و p53.

يتكون الكمبوزيت من قالب راتجي عضوي مؤلف من وحدات تماثر مختلفة المواصفات، قابلة للارتباط لتشكيل سلاسل عديدات التماثر، وجزئيات مائلة لا عضوية داعمة، ترتبط بالقالب الراتجي بواسطة عنصر السيلان. يؤمن هذا التركيب البهيجين خصائص ميكانيكية وتجميلية تحاكي إلى حد ما النسج السنية المفقودة التي تم ترميمها في سبيل إعادة التأهيل الوظيفي والتجميلي للسن. يؤمن التصليب الضوئي وسيلة عملية ملائمة لوصول الكمبوزيت إلى حالة الصلابة عبر تشكيل سلاسل عديدات تماثر مختلطة تتكامل فيما بينها لتخفيض نسبة التقلص التماهي ورفع مقاومة الاهتزاء وزيادة العمر السريري للترميم (Chan وزملاؤه، 2010) (García وزملاؤه، 2006).

في هذا السياق، يمكن لإجراءات الإنماء والتلميع أن تزيل طبقة التثبيط الأكسجيني السطحية الغنية بوحدات تماثر القالب الراتحي الحرة، إلا أن وحدات التماثر الحرة المتبقية في بنية الترميم، خصوصاً في الحفر العميق، سوف ترشح عبر البنية الأنابيبية للعاج لتصل إلى لب السن، مما سيؤثر سلباً في الحالة الحيوية الاستقلابية والدافعية للب السن بدرجات متغيرة تبعاً لمتغيرات عديدة من أهمها معدل التحويل وطبيعة وقدرة العاج الدائرية ومواصفات وحدات التماثر المطبقة (Bakir وزملاؤه، 2017).

هناك تفاوت كبير في نتائج دراسات التقبل الحيوي لعناصر ترميمات الكمبوزيت وأنظمة الرابط العاجي بين المزارع الخلوية مقارنة بالدراسات السريرية. أثبتت العديد من الدراسات المخبرية التأثيرات السمية التخريشية لوحدات التماثر في المزارع الخلوية وذلك فيما يتعلق بالاستقلاب الخلوي والقدرة التطيرية واضطراب دورة الانقسام الخلوي (About وزملاؤه، 2002) (Demirci وزملاؤه، 2008) (Galler وزملاؤه، 2011) (Bakopoulou وزملاؤه، 2012) (Nocca وزملاؤه، 2014) (Kwon وزملاؤه، 2015) (Kim وزملاؤها، 2015) (Barelli وزملاؤه، 2015) (Yalcin وزملاؤه، 2009) (Kourous وزملاؤه، 2013) (Cobanoglu وزملاؤه، 2015) (Nowicka وزملاؤها، 2016) (Saraswati وزملاؤها، 2017).

يتمتع الدوران الدموي اللمفاوي في لب السن بآليات تناضحية ودافعية تعمل على تحديد وارتشاف العناصر السامة عبر نهج دفاعي التهابي توعيسي يعتمد على خصائص المركب اللي العاجي وقدرته الدائرية الفريدة ضمن عتبة تحمل تفاوت تبعاً لخصائصه الذاتية، وهذه الآليات لا يمكن مصادفتها في أطباق الزرع الخلوي (Hargreaves & Goodis، 2002).

تسمح البنية العاجية الأنبوية بنفوذ وحدات التماثر الراجتية الحرة عبرها إلى أعماق تزداد بازدياد أعداد وأقطار وانتظام القنيات العاجية، الأمر الذي يجعل قدرة العاج الدارئة في حدها الأدنى في حالة الترميمات العميقه (Lourdes وزملاؤه، 2005 Castan وزملاؤه، 2013). إن ارتفاع النفوذية العاجية واضطراب تشكل سلاسل عديدات التماثر خلال تطبيق الترميم لأسباب إجرائية، يجعل من مخزون وحدات التماثر مصدر خطر انسمامي داهم ومستمر، يعيق آليات التلاويم والاستقلاب اللبية ويؤدي إلى تموت اللب التدريجي (Tay وزملاؤه، 1994) (Schweiki Yasuda وزملاؤه، 2006) (Silva وزملاؤه، 2008) (وزملاؤه، 2018).

انطلاقاً من هذه المعطيات، فقد تم تصميم هذه الدراسة لاستقصاء تأثير بعض إجراءات تطبيق ترميمات الكمبوزيت الضوئي في حالة وطبيعة الانقسام الخلوي في لب السن، على المدى التصير والمتوسط، بالاعتماد على الوسم النسيجي المناعي الكيميائي، باستخدام بروتينات دورة الانقسام الخلوي Ki-67 و p53.

مشعر الانقسام الخلوي Ki-67

بروتين نووي، يبلغ وزنه الجزيئي (395 kD)، يرتبط إلى عدد من البروتينات المسئولة عن تنظيم دورة انقسام الخلية (Scholzen & Gerdes، 2000). يشير مستوى تعبير هذا البروتين عن حالة الانقسام الخلوي بموثوقية، فهو يظهر باستمرار خلال الطور البيني (G1-S-G2) Interphase ضمن النواة، أما في طور الانقسام (M) Mitosis، فيظهر على سطوح الصبغيات. يختفي عند دخول الخلية الطور (G0) نتيجة تخربه السريع (Sobecki وزملاؤه، 2016). يظهر هذا البروتين في الخلايا الانقسامية سواء كانت طبيعية أو ورمية، لذلك يعتبر مشرعاً دقيقاً لحالة الانقسام الخلوي (Li وزملاؤه، 2015).

البروتين الكابح للانقسام الخلوي p53

البروتين الحارس للإرث الجيني من خلال قدرته على الحفاظ على استقرار سلاسل الـ DNA ومنع تطفيتها (Kabel، 2015). يضم (390) حمض أميني، يبلغ وزنه الجزيئي (53 kD) Bonizzi (2011). يؤدي تعرض الخلية للإجهاد إلى أذية سلاسل الـ DNA، فيتعطل البروتين p53 دافعاً الخلية نحو إصلاح الخلل أو إيقاف دورة الانقسام الخلوي أو التموت المبرمج (Donehower، 2009). يمكن أن تؤدي طفرات البروتين p53 إلى انقسامات ورمية نتيجة عدم قدرته على الارتباط بفعالية إلى سلاسل الـ DNA وبالتالي يفقد قدرته على كبح الانقسام الخلوي غير المنضبط (Roger وزملاؤه، 2010).

بيان مشكلة البحث

رغم تطور ترميمات الكمبوزيت الضوئي على مستوى التركيب والأداء الوظيفي والتجميلي، إلا أنها لازالت موضع جدل فيما يتعلق ببنائها الحيوي على المستوى الموضعي والجهائي وعلى المدى القريب والبعيد. لا يمكن استبعاد الآثار الحيوية الجانبية لأنظمة الارتباط العاجي والترميمات راتجية الطبيعة في لب السن، فبينما أثبتت العديد من الدراسات السمية الخلوية لهذه المواد، لازالت الأبحاث السريرية والنسيجية نادرة على المستوى الجزيئي. يبين هذا البحث تأثير بعض متغيرات ترميمات الكمبوزيت، في الانقسام الخلوي لللب السن المرمم.

2-الهدف من البحث

يهدف البحث إلى تقييم أثر الاندخال القنوي لوحدات التماثر الحرة لترميمات الكمبوزيت العميقه في حالة وطبيعة الانقسام الخلوي لللب السن، من خلال الوسم النسيجي المناعي الكيميائي لبروتينات دورة الانقسام الخلوي Ki-67 و p53 على المدى القصير والمتوسط.

3-مواد وطرائق البحث

مواد البحث

سنابل ماسية كروية وشاقة مناسبة القياس، سنابل إنتهاء الكومبوزيت (Brasseler, Germany)، رؤوس تلميع مطاطية (Tetric N-Bond, Total Etch, Vivadent) ، حمض الفوسفور (Ivoclar, Vivadent) . حمض الراطج (N-Etch, %37)، (Tetric N-Ceram) ، الكومبوزيت السيال، الكومبوزيت المرمم (Tetric N-Bond, Self-Etch) (Ivoclar,) ، جهاز تصليب ضوئي (Led) (Vivadent) ، معاير من حيث الشدة الضوئية.

التقطيع النسيجي: صبغة أزرق الميتيلين (1M)، الفورمالين، الأزوت، شمع البارافين، الكحول بتراكيز مختلفة، الكزيلول، صبغة الهيماتوكسيلن، الصد الأولي وحد النسيلة (BioSB) Ki-67 Rabbit Monoclonal primary antibody، الصد الأولي وحد النسيلة (BioSB) p53 Rabbit Monoclonal primary antibody. جهاز الإدماج، جهاز التقطيع (MARIENFELD) HistoBond، شرائح (HistoBond) خاصة بالتلوي المناعي خاصية بالتلوي المناعي (MARIENFELD) والسواتر الزجاجية. مجهر مزود بكاميرا رقمية لمراقبة وتسجيل الخلايا إيجابية التلوي المناعي.

طريق البحث: يتكون البحث من دراسة نسيجية مناعية كيميائية، باستخدام 36 ضاحك معد للقلع لأسباب تقويمية، لدى (14) مريضاً تتراوح أعمارهم بين 11-18 سن، ويتمتعون بصحة فموية جيدة دون إصابات رعلية، ويدون صحة جيدة دون أمراض عامة أو جهازية.

الثوابت: أبعاد الحفرة السنوية الثانية: 2x4 مم، لا تتجاوز ثمانة طبقة العاج المتبقية الواقية للب السن 0.5 مم. تم تطبيق كمبوزيت سيال كطبقة قاعدية + كمبوزيت مملوء بطريقة الطبقات المتتالية الدوارة فراغياً لإنجاز الترميم. نمط التصليب الضوئي المستخدم مستمر متزايد.

المتغيرات المدروسة: التخريش العاجي: كامل أو ذاتي، فترة التصليب الضوئي: 20 أو 60 ثانية. بناء على هذه المتغيرات، ضمن البحث 9 مجموعات دراسة كما يلي:

- مج 1: تخريش كامل + فترة التصليب 20 ثانية (فترة المراقبة: 3 أسابيع) (n=4)
- مج 2: تخريش كامل + فترة التصليب 60 ثانية (فترة المراقبة: 3 أسابيع) (n=4)
- مج 3: تخريش ذاتي + فترة التصليب 20 ثانية (فترة المراقبة: 3 أسابيع) (n=4)
- مج 4: تخريش ذاتي + فترة التصليب 60 ثانية (فترة المراقبة: 3 أسابيع) (n=4)
- مج 5: تخريش كامل + فترة التصليب 20 ثانية (فترة المراقبة: 3 أشهر) (n=4)
- مج 6: تخريش كامل + فترة التصليب 60 ثانية (فترة المراقبة: 3 أشهر) (n=4)
- مج 7: تخريش ذاتي + فترة التصليب 20 ثانية (فترة المراقبة: 3 أشهر) (n=4)
- مج 8: تخريش ذاتي + فترة التصليب 60 ثانية (فترة المراقبة: 3 أشهر) (n=4)
- مج 9 (الشاهد): سن سليم بدون آية إصابات نخرية أو رعلية (n=4)

تم استبعاد ظاهرة التسرب الحفافي من خلال تمرير سنبلة صغيرة القياس في المسافة البينية ترميم-نسج سنوية ثم ملؤها بالكومبوزيت السيال وتصسيبها (40 ثا) لتأمين ختم مؤكد لحواف الترميم. تم الإنتهاء والتلميع الجيد بعد مرور 24 ساعة. بعد القلع، تم تطبيق اختبار نفوذ الصباغ قبل البدء بإجراءات التقطيع النسيجي، لاستبعاد العينات التي تبدي نفوذ صباغ يصل إلى سطح العاج بعد إجراء التقطيع النسيجي.

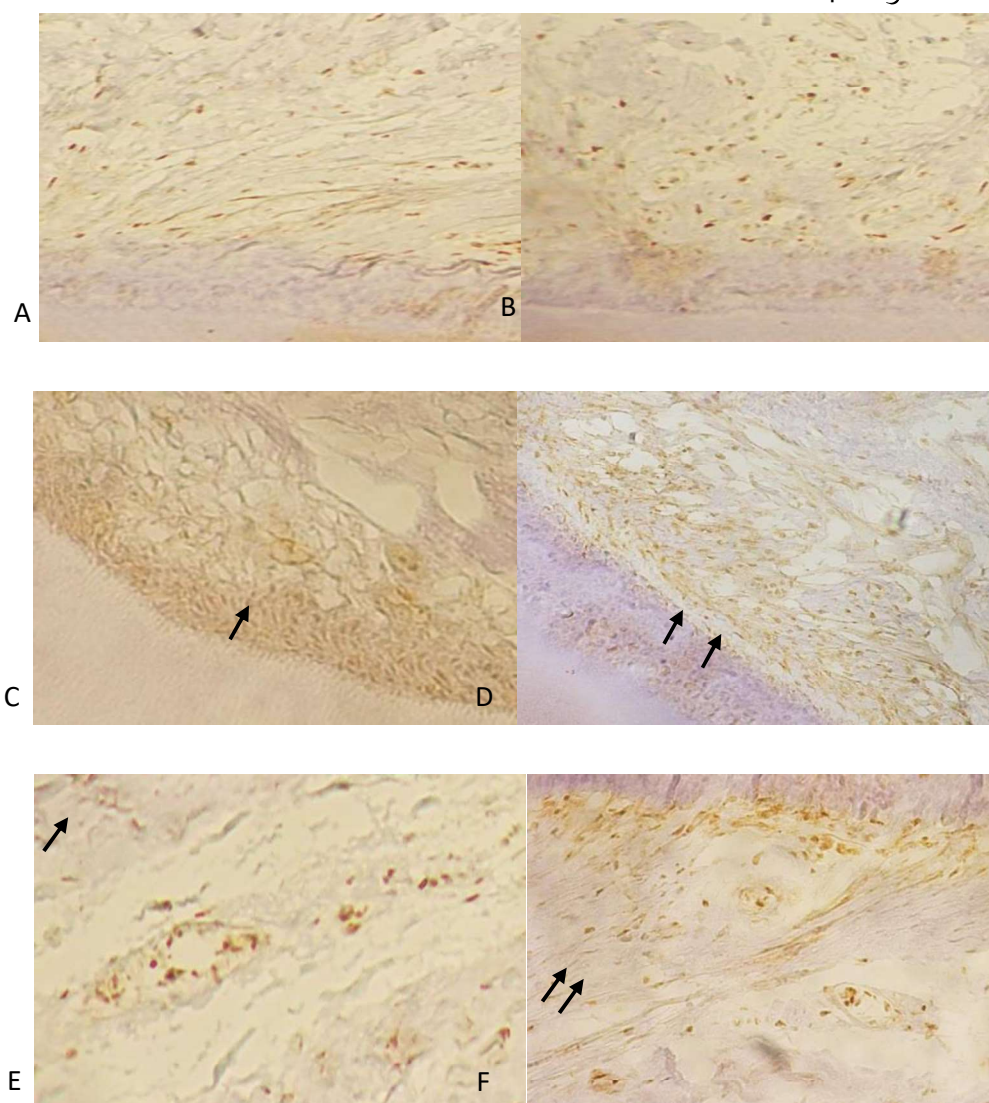
التلوي المناعي

تم الوسم النسيجي المناعي الكيميائي باستخدام الأضداد وحيدة النسيلة Ki-67 و p53، على المدى القصير بعد مرور 3 أسابيع، وعلى المدى المتوسط بعد مرور 3 أشهر من ترميم السن بالكومبوزيت.

وضعت الأسنان، بعد قلعها وتقطيفها، مباشرةً في الفورمالين لثبيت لب السن، ثم خسفت الأملام المعدنية باستخدام حمض الآزوت لمدة 2 أسبوع. تم إتباع البروتوكول التقليدي لإجراء المقاطع النسيجية التي أجريت طوليًّا بالاتجاه الدهليزي اللساني بثخانة 4 ميكرون. بعد ذلك تم تسخين المقاطع إلى الدرجة 65° لمدة ساعة واحدة، ثم وضعت في الإكيزيلول ثم الإيتانول ثم محلول الداري (PBS). وضعت الشرائح، مغمورة بالمحلول المظهر للمستضد، في المايكروويف بدرجة حرارة 125° ثم 90°، ثم تركت لتبرد بدرجة حرارة الغرفة، ثم غسلت بالمحلول الداري. بعد ذلك وضعت الشرائح في البيروكسيداز لمدة 5 دقائق، ثم غسلت بالمحلول الداري 3 مرات.

تم تطبيق الأضداد الأولية وحيدة النسيلة لمدة 45 دقيقة، ثم غسلت الشرائح بالمحلول الداري 3 مرات. تم تغطية المقاطع بـ HRP لمدة 45 دقيقة ثم غسلتها بالمحلول الداري، ثم تطبيق الكروموجين على المقاطع لمدة 10 دقائق. أخيرًا غسلت الشرائح بالماء المقطر 5 مرات ثم تم التلوين بالهيماتوكسيلين وتطبيق السواتر الزجاجية.

يظهر الشكل (1) التلوين المناعي لمقاطع نسيجية تنتهي لبعض عينات المجموعات المدرosa، تظهر مستويات تعبير متباينة للبروتينات Ki-67 و p53.



الشكل (1): يبين مقاطع التلوين المناعي النسيجية ($400\times$) ($200\times$) لساحات تنتهي لعينات المجموعات المدرosa، تظهر مستويات تعبير متباينة للبروتينات Ki-67 و p53. (A): مستوى تعبير متوسط للبروتين Ki-67، (B): مستوى تعبير متوسط للبروتين p53.

مستوى تعبير متوسط للبروتين p53، (C): مستوى تعبير مرتفع للبروتين Ki-67، (D): مستوى تعبير مرتفع للبروتين Ki-67 خصوصاً في الطبقة المصورة للعاج ()، وفي بطانة الأوعية الدموية () .

نتائج التلوين المناعي

تم تسجيل مقدار انتشار التلوين وتركيزه للواسمات النوعية المستخدمة في 3 ساحات نسيجية منفصلة لكل مقطع نسيجي للعينة، وتم عد الخلايا الإيجابية (المتلونة) في كل ساحة ثم حساب النسبة المئوية لها من مجموع خلايا الساحة المدروسة عند التكبير $\times 400$ وفقاً للمعادلة التالية:

$$\text{النسبة المئوية للخلايا الإيجابية المتلونة} = \frac{\text{عدد الخلايا الإيجابية}}{\text{عدد الخلايا الكلية}} \times 100$$

بناء عليه كان عدد الساحات المدروسة لكل مجموعة (n=12).

تم احتساب المعيار الكمي Index لدرجة انتشار تعبيرية البروتينات Ki-67 أو p53 كما يلي:

- 0: لا يوجد خلايا متلونة
- 1: ثلثون 1-20 % من الخلايا
- 2: ثلثون 21-50 % من الخلايا
- 3: ثلثون أكثر من 50 % من الخلايا

تم احتساب المعيار الكمي Index لدرجة تركيز تعبيرية البروتينات Ki-67 أو p53 كما يلي:

- 0: لا يوجد تلوين
- 1: تلوين خفيف
- 2: تلوين متوسط
- 3: تلوين شديد

بناء على هذه المعايير تم استنتاج طبيعة التغيرات الطارئة في حالة وطبيعة الانقسام الخلوي في لب السن.

الدراسة الإحصائية

تم إجراء اختبار Kruskal-Wallis لدراسة دلالة الفروق في تكرارات درجة تعبيرية الواسم الحيوي Ki-67 بين المجموعات المدروسة.

الجدول رقم (1): يبين نتائج اختبار Kruskal-Wallis لدراسة دلالة الفروق في تكرارات درجة تعبيرية الواسم الحيوي Ki-67 بين المجموعات المدروسة.

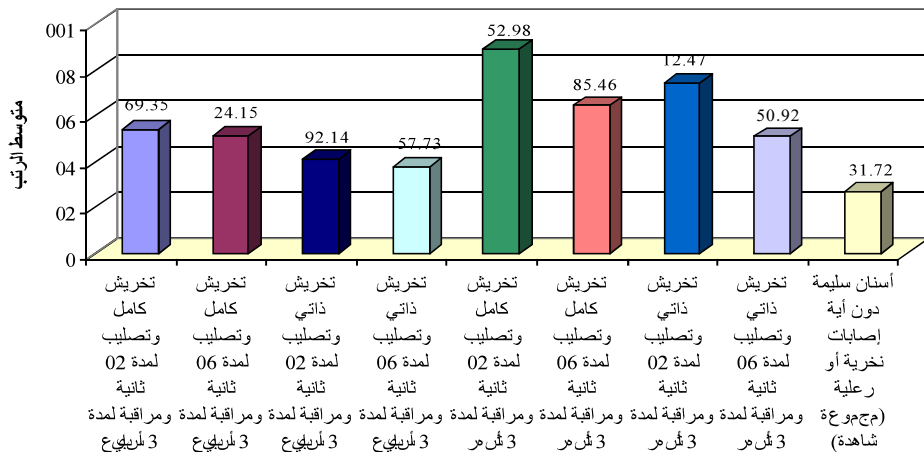
دلالة الفروق	قيمة مستوى الدلالة	قيمة كاي مربع	متوسط الرتب	عدد القياسات	المجموعة المدروسة
توحد فروق، دالة	0.000	42.114	53.96	12	تخريش كامل وتصليب لمدة 20 ثانية ومراقبة لمدة 3 أسابيع
			51.42	12	تخريش كامل وتصليب لمدة 60 ثانية ومراقبة لمدة 3 أسابيع
			41.29	12	تخريش ذاتي وتصليب لمدة 20 ثانية ومراقبة لمدة 3 أسابيع
			37.75	12	تخريش ذاتي وتصليب لمدة 60 ثانية ومراقبة لمدة 3 أسابيع
			89.25	12	تخريش كامل وتصليب لمدة 20 ثانية ومراقبة لمدة 3 أشهر
			64.58	12	تخريش كامل وتصليب لمدة 60 ثانية ومراقبة لمدة 3 أشهر
			74.21	12	تخريش ذاتي وتصليب لمدة 20 ثانية ومراقبة لمدة 3 أشهر
			50.92	12	تخريش ذاتي وتصليب لمدة 60 ثانية ومراقبة لمدة 3 أشهر
			27.13	12	أسنان سليمة دون آية إصابات نخرية أو رعلية (مجموعة شاهدة)

يبين الجدول (1) أن قيمة مستوى الدلالة أصغر بكثير من القيمة 0.05، أي أنه عند مستوى الثقة 95% توجد فروق دالة إحصائية في تكرارات درجة تعبييرية الواسم الحيوي Ki-67 بين الشتتين على الأقل من المجموعات المدروسة، ولمعرفة أي منها تم إجراء اختبار Mann-Whitney للمقارنة الثانية كما يبين الجدول (2).

الجدول رقم (2): يبين نتائج اختبار Mann-Whitney لدراسة دلالة الفروق الثنائية في تكرارات درجة تعبيرية

Ki-67

يبين الجدول (2) أن قيمة مستوى الدلالة أصغر من القيمة 0.05 عند المقارنة في تكرارات درجة تعبيرية الواسم الحيوي Ki-67 بين عدد من المجموعات المدروسة، أي أنه عند مستوى النسبة 95% توجد فروق ثانية دالة إحصائية في تكرارات درجة تعبيرية الواسم الحيوي Ki-67 بين هذه المجموعات. بينما دراسة قيم متوسطات الرتب الفروق في درجة تعبيرية الواسم الحيوي Ki-67 لكل مجموعة كما يبين المخطط (1).



المخطط رقم (1): يمثل متوسط الرتب لدرجة تعبيرية الواسم الحيوي Ki-67 في عينة البحث وفقاً للمجموعة المدروسة.

تم إجراء اختبار Kruskal-Wallis لدراسة دلالة الفروق في تكرارات درجة تعبيرية الواسم الحيوي p53.

الجدول رقم (3): يبين نتائج اختبار Kruskal-Wallis لدراسة دلالة الفروق في تكرارات تعبيرية الواسم p53 بين المجموعات.

المجموعة المدروسة	عدد القياسات	متوسط الرتب	قيمة كاي مربع	قيمة مستوى الدلالة	دلالة الفروق
تخريش كامل وتصليب لمدة 20 ثانية ومراقبة لمدة 3 أسابيع	12	36.46	31.310	0.000	تعدد فروق دالة
تخريش كامل وتصليب لمدة 60 ثانية ومراقبة لمدة 3 أسابيع	12	40.17			
تخريش ذاتي وتصليب لمدة 20 ثانية ومراقبة لمدة 3 أسابيع	12	65.96			
تخريش ذاتي وتصليب لمدة 60 ثانية ومراقبة لمدة 3 أسابيع	12	58.63			
تخريش كامل وتصليب لمدة 20 ثانية ومراقبة لمدة 3 أشهر	12	32.75			
تخريش كامل وتصليب لمدة 60 ثانية ومراقبة لمدة 3 أشهر	12	66.00			
تخريش ذاتي وتصليب لمدة 20 ثانية ومراقبة لمدة 3 أشهر	12	51.25			
تخريش ذاتي وتصليب لمدة 60 ثانية ومراقبة لمدة 3 أشهر	12	62.29			
أسنان سليمة دون آية إصابات نخرية أو رعلية (مجموعه شاهدة)	12	77.00			

يبين الجدول (3) أن قيمة مستوى الدلالة أصغر بكثير من القيمة 0.05، أي أنه عند مستوى النسبة 95% توجد فروق دالة إحصائية في تكرارات درجة تعبيرية الواسم الحيوي p53 بين اثنين على الأقل من المجموعات المدروسة ولمعرفة أي منها، تم إجراء اختبار Mann-Whitney للمقارنة الثانية كما يبين الجدول (4).

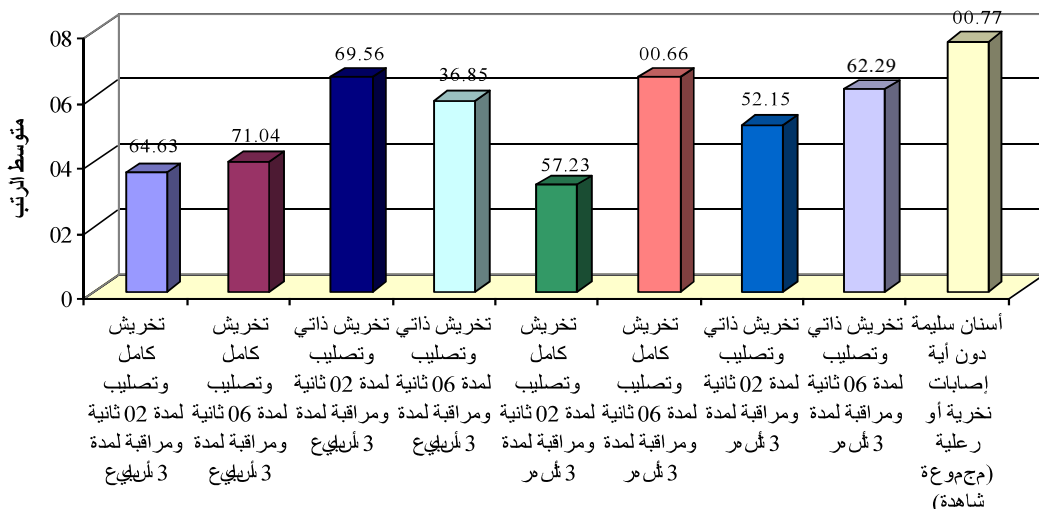
الجدول رقم (4): يبين نتائج اختبار Mann-Whitney U لدراسة دلالة الفروق الثنائية في تكرارات تعبيدية الواسم

p53

دلالة الفروق	قيمة مستوى الدلالة	قيمة U	المجموعة المدروسة (ب)	المجموعة المدروسة (أ)
لا توجد فروق دالة	0.680	66.0	تخريش كامل وتصليب لمدة 60 ثانية ومراقبة مدة 3 أسابيع	تخريش ذاتي وتصليب لمدة 20 ثانية ومراقبة مدة 3 أسابيع
توجد فروق دالة	0.013	34.0	تخريش ذاتي وتصليب لمدة 20 ثانية ومراقبة مدة 3 أسابيع	
توجد فروق دالة	0.031	41.0	تخريش ذاتي وتصليب لمدة 60 ثانية ومراقبة مدة 3 أسابيع	
لا توجد فروق دالة	0.688	66.0	تخريش كامل وتصليب لمدة 20 ثانية ومراقبة لمدة 3 أشهر	
توجد فروق دالة	0.005	31.5	تخريش كامل وتصليب لمدة 60 ثانية ومراقبة لمدة 3 أشهر	
لا توجد فروق دالة	0.132	50.5	تخريش ذاتي وتصليب لمدة 20 ثانية ومراقبة لمدة 3 أشهر	
توجد فروق دالة	0.021	37.5	تخريش ذاتي وتصليب لمدة 60 ثانية ومراقبة لمدة 3 أشهر	
توجد فروق دالة	0.001	21.0	مجموعة الأسنان السليمة (مجموعة شاهدة)	
ت يوجد فروق دالة	0.023	38.0	تخريش ذاتي وتصليب لمدة 20 ثانية ومراقبة لمدة 3 أسابيع	
لا توجد فروق دالة	0.060	46.0	تخريش ذاتي وتصليب لمدة 60 ثانية ومراقبة لمدة 3 أسابيع	
لا توجد فروق دالة	0.418	60.0	تخريش كامل وتصليب لمدة 20 ثانية ومراقبة لمدة 3 أشهر	تخريش كامل وتصليب لمدة 60 ثانية ومراقبة مدة 3 أسابيع
توجد فروق دالة	0.009	36.0	تخريش كامل وتصليب لمدة 60 ثانية ومراقبة لمدة 3 أشهر	
لا توجد فروق دالة	0.244	56.0	تخريش ذاتي وتصليب لمدة 20 ثانية ومراقبة لمدة 3 أشهر	
ت يوجد فروق دالة	0.038	42.0	تخريش ذاتي وتصليب لمدة 60 ثانية ومراقبة لمدة 3 أشهر	
ت يوجد فروق دالة	0.002	24.0	مجموعة الأسنان السليمة (مجموعة شاهدة)	
لا توجد فروق دالة	0.444	61.0	تخريش ذاتي وتصليب لمدة 60 ثانية ومراقبة لمدة 3 أسابيع	
ت يوجد فروق دالة	0.007	30.0	تخريش كامل وتصليب لمدة 20 ثانية ومراقبة لمدة 3 أشهر	
لا توجد فروق دالة	0.916	70.5	تخريش كامل وتصليب لمدة 60 ثانية ومراقبة لمدة 3 أشهر	
لا توجد فروق دالة	0.155	51.5	تخريش ذاتي وتصليب لمدة 20 ثانية ومراقبة لمدة 3 أشهر	
لا توجد فروق دالة	0.710	66.5	تخريش ذاتي وتصليب لمدة 60 ثانية ومراقبة لمدة 3 أشهر	
لا توجد فروق دالة	0.324	57.0	مجموعة الأسنان السليمة (مجموعة شاهدة)	
ت يوجد فروق دالة	0.015	36.0	تخريش كامل وتصليب لمدة 20 ثانية ومراقبة لمدة 3 أشهر	

الدالة الفروق	قيمة مستوى الدلالة	قيمة U	المجموعة المدرستة (ب)	المجموعة المدرستة (أ)
لا توجد فروق دالة	0.422	61.5	تخريش كامل وتصليب لمدة 60 ثانية ومراقبة لمدة 3 أشهر	تخريش ذاتي وتصليب لمدة 60 ثانية ومراقبة لمدة 3 أسابيع
لا توجد فروق دالة	0.424	61.5	تخريش ذاتي وتصليب لمدة 20 ثانية ومراقبة لمدة 3 أشهر	
لا توجد فروق دالة	0.691	66.5	تخريش ذاتي وتصليب لمدة 60 ثانية ومراقبة لمدة 3 أشهر	
لا توجد فروق دالة	0.066	45.0	مجموعة الأسنان السليمة (مجموعة شاهدة)	
<u>توجد فروق دالة</u>	0.003	27.0	تخريش كامل وتصليب لمدة 60 ثانية ومراقبة لمدة 3 أشهر	تخريش كامل وتصليب لمدة 20 ثانية ومراقبة لمدة 3 أشهر
لا توجد فروق دالة	0.066	45.0	تخريش ذاتي وتصليب لمدة 20 ثانية ومراقبة لمدة 3 أشهر	
<u>توجد فروق دالة</u>	0.011	33.0	تخريش ذاتي وتصليب لمدة 60 ثانية ومراقبة لمدة 3 أشهر	
<u>توجد فروق دالة</u>	0.001	18.0	مجموعة الأسنان السليمة (مجموعة شاهدة)	
لا توجد فروق دالة	0.110	51.0	تخريش ذاتي وتصليب لمدة 20 ثانية ومراقبة لمدة 3 أشهر	تخريش كامل وتصليب لمدة 60 ثانية ومراقبة لمدة 3 أشهر
لا توجد فروق دالة	0.743	67.5	تخريش ذاتي وتصليب لمدة 60 ثانية ومراقبة لمدة 3 أشهر	
لا توجد فروق دالة	0.216	54.0	مجموعة الأسنان السليمة (مجموعة شاهدة)	
لا توجد فروق دالة	0.263	56.5	تخريش ذاتي وتصليب لمدة 60 ثانية ومراقبة لمدة 3 أشهر	
<u>توجد فروق دالة</u>	0.015	36.0	مجموعة الأسنان السليمة (مجموعة شاهدة)	تخريش ذاتي وتصليب لمدة 20 ثانية ومراقبة لمدة 3 أشهر
<u>لا توجد فروق دالة</u>	0.162	51.0	مجموعة الأسنان السليمة (مجموعة شاهدة)	تخريش ذاتي وتصليب لمدة 60 ثانية ومراقبة لمدة 3 أشهر

يبين الجدول (4) أن قيمة مستوى الدلالة أصغر من القيمة 0.05 عند المقارنة في تكرارات درجة تعبرية الواسم الحيوي p53 بين عدد من المجموعات المدرستة، أي أنه عند مستوى الثقة 95% توجد فروق ثنائية دالة إحصائياً في تكرارات درجة تعبرية الواسم الحيوي p53 بين هذه المجموعات. بينت دراسة قيم متوسطات الرتب الفروق في درجة تعبرية الواسم الحيوي p53 لكل مجموعة كما يبين المخطط (2).



المخطط رقم (2): يمثل متوسط الرتب لدرجة تعبيرية الواسم الحيوي p53 في عينة البحث وفقاً للمجموعة المدروسة.

بناء على المعايير الكمية المعتمدة للواسمات Ki-67 و p53 الخاصة بحالة الانقسام الخلوي للب السن فقد تبين:

- وجود فروق جوهرية بين بعض مجموعات الدراسة التي تضمنت فترتي المراقبة (بعد 3 أسبوع، بعد 3 أشهر) من حيث مستوى تعبير البروتين Ki-67 كمشعر للانقسام الخلوي والبروتين الكابح للانقسام الخلوي p53.
- تفاوت مستوى تعبير الواسمات المستخدمة بين المجموعات المدروسة تبعاً لنوع التخريش العاجي وفترة التصليب الضوئي للكومبوزيت كما يلي:

- روبرت أدنى حالات اضطراب اللب في حالة التخريش الذاتي وفترة التصليب الطويلة للكومبوزيت، في المجموعة الرابعة والثامنة، حيث كانت مستويات تعبير البروتينات Ki-67 و p53 منخفضة.
- روبرت أسوأ حالات اللب اضطراباً في حالة التخريش الكامل وفترة التصليب القصيرة للكومبوزيت، في المجموعة الأولى والخامسة، حيث ارتفعت مستويات تعبير البروتينات Ki-67 و p53 بشكل متزامن، مشيرة إلى آذية محتملة لسلسل DNA في الخلايا الانقسامية للب السن.

4-المناقشة

أجريت الدراسة النسيجية المتابعة الكيميائية للب السن، باستخدام 36 ضاحك معد للقلع لأسباب تقويمية. تم تحضير حفر عميق بحيث تكون ثخانة طبقة العاج الواقية للب (0.5) مم كحد أقصى. بعد استبعاد تأثير التقلص التمازي والتسرب الحفافي، روبرت تأثير النفوذية العاجية لوحيدات التمازي، المتعلقة بنمط التخريش العاجي وفترة التصليب الضوئي لطبقات الكومبوزيت، في حالة وطبيعة الانقسام الخلوي للب السن. تمت المراقبة على المدى القصير بعد مرور (3) أسابيع، وعلى المدى المتوسط بعد مرور (3) أشهر باستخدام مشعر الانقسام الخلوي البروتين Ki-67 و البروتين الكابح للانقسام الخلوي p53.

أظهرت نتائج الدراسة وجود فروق جوهرية بين بعض المجموعات تبعاً للمتغيرات المدروسة. روبرت أدنى حالات اضطراب اللب عند التخريش الذاتي وفترة التصليب الطويلة للكومبوزيت، حيث كانت مستويات تعبير البروتينات Ki-67 و p53 منخفضة. روبرت أسوأ حالات اللب اضطراباً عند التخريش الكامل وفترة التصليب القصيرة للكومبوزيت، حيث ارتفعت

مستويات تعبير البروتينات Ki-67 و p53 بشكل متزامن، مشيرة إلى أدبية محتملة لسلسلـاـ DNA في الخلايا الانقسامية للبـالـسـنـ. يمكن أن يعزى ذلك لتـارـرـ تقـنيـةـ التـخـريـشـ العـاجـيـ الكـامـلـ وـفـرـةـ التـصـلـيبـ القـصـيرـةـ، عـندـ انـخـفـاضـ ثـخـانـةـ طـبـقـةـ العـاجـ المـغـطـيـةـ لـلـبـ فـيـ حـالـةـ الـحـفـرـ العـمـيقـةـ، فـيـ زـيـادـةـ خـطـرـةـ لـلـفـوـذـيـةـ العـاجـيـةـ لـوـحـيدـاتـ التـمـاثـرـ الـحـرـةـ، ماـ سـبـبـ أـدـيـةـ مـوـضـعـيـةـ غـيرـ رـدـودـةـ، ماـ جـعـلـ الـبـ لـيـرـعـ نـسـبـةـ الـانـقـسـامـ الـخـلـويـ لـلـتـعـوـيـضـ عـنـ الـخـلـاـيـاـ الـمـصـوـرـةـ لـلـعـاجـ الـمـتـائـدـيـ. هـذـاـ التـغـيـرـ كـانـ لـيـقـىـ رـدـ فعلـ دـافـعـيـ طـبـيـعـيـ تـلـاؤـيـ لـوـ لمـ يـتـرـافقـ بـارـتـاقـاعـ مـسـتـوىـ تـعـبـيرـ الـبـرـوـتـيـنـ الـكـابـيـ لـلـانـقـسـامـ الـخـلـويـ p53ـ، الـأـمـرـ الـذـيـ يـشـيرـ إـلـىـ عـمـلـيـةـ انـقـسـامـ خـلـويـ مـضـطـرـبـةـ. يمكنـ أنـ يـعـودـ ذـلـكـ إـلـىـ تـأـذـيـ سـلـالـلـ الـD~NAـ لـلـخـلـاـيـاـ الـانـقـسـامـيـةـ، نـتـيـجـةـ التـأـثـيرـ التـخـريـشـيـ الـانـسـامـيـ لـنـفـوذـ وـحـيدـاتـ التـمـاثـرـ الـحـرـةـ مـسـبـبـةـ حـالـةـ مـنـ الإـجـهـادـ التـاكـسـديـ لـلـخـلـاـيـاـ. تـؤـدـيـ مـثـلـ هـذـهـ الـحـالـاتـ إـلـىـ اـرـتـاقـاعـ مـسـتـوىـ تـعـبـيرـ الـبـرـوـتـيـنـ p53ـ لـيـجـبـ الـخـلـاـيـاـ الـانـقـسـامـيـةـ عـلـىـ إـيقـافـ دـورـةـ الـانـقـسـامـ وـإـصلاحـ الـأـدـيـةـ الـتـيـ كـشـفـتـهاـ إـلـىـ نـقـاطـ ضـبـطـ Checkpointـ دـورـةـ الـانـقـسـامـ الـخـلـويـ، أوـ سـتـعـرـضـ هـذـهـ الـخـلـاـيـاـ لـلـتـمـوتـ الـمـبـرـمـجـ. إـنـ اـسـتـمـارـ إـجـهـادـ خـلـاـيـاـ لـبـ الـسـنـ نـتـيـجـةـ اـسـتـمـارـ اـرـتـشـاحـ وـحـيدـاتـ التـمـاثـرـ حـرـةـ سـيـحـرـ الـبـ لـمـ إـمـكـانـيـةـ تـعـوـيـضـ عـنـ خـلـاـيـاـ الـلـبـ الـمـتـائـدـيـ وـفـيـ مـقـدـمـتـهاـ الـخـلـاـيـاـ الـمـصـوـرـةـ لـلـعـاجـ، ماـ يـؤـدـيـ إـلـىـ تـفـاقـمـ التـعـبـ وـالـأـدـيـةـ الـلـبـيـةـ حـتـىـ مـرـحلـةـ فـقـدانـ الـحـيـوـيـةـ.

توافقت نتائج هذه الدراسة عموماً مع دراسة Nocca وزملاؤها عام 2014 من حيث تأثير وحيدات تماثر الكمبيوتر في الفعالية الوظيفية والإجهاد التأكسدي لمزارع خلايا لب السـنـ. توافقت نتائج هذه الدراسة عموماً مع دراسة Kim وزملاؤه عام 2015 من حيث التأثير السلبي لـMDPـ(10)، وهو أحد أنواع وحيدات التماثر المستخدمة في أنظمة الارتباط العاجي ذاتية التخريش، في اضطراب الفعالية التوالدية وقدرة التمايز والتصنـيـعـ لـلـخـلـاـيـاـ الـمـصـوـرـةـ لـلـعـاجـ نـتـيـجـةـ الإـجـهـادـ التـاكـسـديـ.

توافقت نتائج هذه الدراسة عموماً مع دراسة Soares وزملاؤها عام 2016، التي بينت أن تطبيق الإسمـنـتـ الزـاجـاجـيـ الشـارـديـ المـعـدـلـ بـالـرـاتـجـ كـطـيـقـةـ مـيـطـنـةـ فـيـ الـحـفـرـ العـمـيقـةـ، المـتـرـاقـفـ بـتـطـيـقـ مـيـدـنـاتـ حـامـضـيـةـ تـضـمـنـ وـحـيدـاتـ التـمـاثـرـ HEMAـ، أـدـيـ إـلـىـ وـارـتـاقـاعـ مـعـدـلـ تـصـنـيـعـ الـوـسـائـطـ الـالـتـهـابـيـةـ وـاضـطـرـابـ وـظـائـفـ الـلـبـ مـتـضـمـنـةـ اـنـخـفـاضـ مـعـدـلـ إـفـراـزـ وـتـمـدـنـ مـكـوـنـاتـ الـعـاجـ مـنـ قـبـلـ الـخـلـاـيـاـ الـمـصـوـرـةـ لـلـعـاجـ.

توافقت نتائج هذه الدراسة مع دراسة Saraswati وزملاؤها عام 2017 الذين بينوا التأثير السلبي لـوـحـيدـاتـ التـمـاثـرـ عـلـىـ الـمـسـتـوىـ الـمـنـاعـيـ لـلـخـلـاـيـاـ الـمـصـوـرـةـ لـلـعـاجـ بـسـبـبـ زـيـادـةـ نـسـبـةـ الـجـنـوـرـ الـحـرـةـ النـاجـ عـنـ الإـجـهـادـ التـاكـسـديـ. توافقت نتائج هذه الدراسة مع دراسة Kwon وزملاؤه عام 2015 الذين بينوا تأثير وحيدات التماثر (TEGDMA, HEMA) في إعاقة وكبح تمـاـيزـ خـلـاـيـاـ الـلـبـ الـانـقـسـامـيـةـ بـآلـيـاتـ مـخـلـفـةـ تـرـتـبـطـ بـالـأـثـارـ الـانـسـامـيـةـ لـلـإـجـهـادـ التـاكـسـديـ. توافقت نتائج هذه الدراسة مع دراسة Corbo وزملاؤه عام 2017 الذين أثبـوـاـ التـأـثـيرـ الـانـسـامـيـ لـوـحـيدـاتـ التـمـاثـرـ حـرـةـ فيـ خـلـاـيـاـ الـلـبـ الـانـقـسـامـيـةـ غـيرـ المـتـماـيزـةـ. لمـ تـوـافـقـ نـتـائـجـ هـذـهـ الـدـرـاسـةـ مـعـ درـاسـةـ Kourosـ وزـمـلـاؤـهـ عـامـ 2013ـ الـذـيـنـ وـجـدـواـ بـأـنـ تـطـيـقـ نـظـامـ الـارـتـبـاطـ الـعـاجـيـ ذاتـيـ التـخـريـشـ لمـ يـسـبـبـ اـرـتكـاسـاـ لـبـاـ جـوهـريـاـ. بـيـمـاـ يـعـودـ السـبـبـ لـاـخـتـلـافـ أـعـمـارـ الـمـرـضـيـ الـتـيـ تـرـاوـحـ لـدـيهـمـ بـيـنـ 40ـ 50ـ عـامـاـ، بـيـنـماـ تـرـاوـحـ أـعـمـارـ الـمـرـضـيـ درـاستـاـ بـيـنـ 11ـ 18ـ عـامـاـ، بـيـنـالـيـ يـمـكـنـ أـنـ تـكـونـ فـوـذـيـةـ الـعـاجـ الـتـيـ تـخـفـضـ مـعـ تـقـدـمـ الـعـمرـ هـيـ مـنـ سـاـهـمـ فـيـ تـحـمـلـ الـلـبـ لـتـطـيـقـ مـثـلـ هـذـهـ الـمـوـادـ رـاتـجـيـةـ الطـبـيـعـةـ.

لمـ تـوـافـقـ نـتـائـجـ هـذـهـ الـدـرـاسـةـ مـعـ درـاسـةـ Cobanogluـ وزـمـلـاؤـهـ عـامـ 2015ـ الـذـيـنـ لـمـ يـجـدـواـ رـدـودـ فـعـلـ التـهـابـيـةـ لـبـيـةـ عـنـ تـطـيـقـ نـوعـيـنـ مـنـ أـنـظـمـةـ الـارـتـبـاطـ الـعـاجـيـ ذاتـيـ التـخـريـشـ. يمكنـ أنـ يـعـودـ السـبـبـ لـخـانـةـ لـطـبـقـةـ الـعـاجـ الـمـغـطـيـةـ لـلـبـ الـتـيـ تـجاـوزـ 1ـ مـمـ، حـيـثـ قـامـتـ بـتـحـيـيدـ التـأـثـيرـاتـ السـمـيـةـ لـنـفـوذـ وـحـيدـاتـ التـمـاثـرـ عـبـرـ الـقـنـيـاتـ الـعـاجـيـةـ بـفـعـالـيـةـ، إـضـافـةـ إـلـىـ طـبـيـعـةـ الـخـسـفـ الـعـاجـيـ السـطـحـيـ لـهـذـهـ الـأـنـظـمـةـ الـذـيـ لـاـ يـتـجـاـوزـ (1)ـ مـيـكـرونـ، الـأـمـرـ الـذـيـ حـافـظـ عـلـىـ سـدـادـاتـ الـبـرـادـةـ الـعـاجـيـةـ الـقـنـيـاتـ الـعـاجـيـةـ، وـمـنـ الدـورـ السـلـبيـ لـسـوـالـلـ الـقـنـيـاتـ الـعـاجـيـةـ فـيـ خـفـضـ نـسـبـةـ تـحـوـيلـ وـحـيدـاتـ التـمـاثـرـ.

5- الاستنتاجات

نستنتج من هذه الدراسة أن لطبيعة التخريش وأنظمة الارتباط العاجي وفترة تصلب الكومبوزيت الضوئي تأثيراً مباشراً في اضطراب لب السن في الحفر العميق خاصة فيما يتعلق بنسبة وطبيعة الانقسام الخلوي. إن زيادة النفوذية العاجية المرتبطة بالتخريش الكامل وإنخفاض معدل تحويل وحدات التماثر المرتبط بعملية التصلب غير الكافية، سيرفع نسبة وحدات التماثر الحرة المرشحة عبر القنيات العاجية نحو لب السن، مسببة اضطراب مستويات تعبير بروتينات دورة الانقسام الخلوي الطبيعي مثل Ki-67 و p53 عبر آليات جزيئية ترتبط في أغلب الحالات بارتفاع الإجهاد التأكسدي الليبي.

إن ارتفاع مستوى تعبير البروتين الكابح للانقسام الخلوي p53 سيجعل محاولات اللب للتتويض عن مصادر العاج المتآدية غير مجده، بل ربما يطأّرّ تحوّل في طبيعة الانقسام ليصبح غير منضبط نتيجة تراكم التأثيرات الانسماوية لوحدات التماثر، وعندها يمكن ألا تتوقف الآثار السلبية عند حدود تموت لب السن.

6- التوصيات والمقترنات

- اعتماد أنظمة الارتباط العاجي ذاتية التخريش في الحفر العميق لخصائصها الحيوية الملائمة من حيث الخسف المعتمد لسطح العاج وتأمين نفوذية عاجية معتدلة عبر المحافظة على سدادات القنيات العاجية، وبالتالي منع التأثير السلبي لسوائل القنيات العاجية في خفض نسبة تحويل وحدات التماثر أثناء عملية التصلب الضوئي.
- ضبط عملية التصلب الضوئي لأنظمة الارتباط العاجي وترميمات الكومبوزيت من حيث الشدة والمدة، في سبيل رفع نسب تشكل سلاسل عديدات التماثر، ما سيخفض الإجهاد التأكسدي الليبي المرافق لعملية الترميم ويحسن التقبل الحيوي.
- إجراء دراسة نسيجية مناعية كيميائية باستخدام واسمات مختلفة لمراقبة حالة الاستقلاب الليبي والإجهاد التأكسدي والوظيفة التجددية والتصنيعية عند اختبار تأثير متغيرات الترميم بالكومبوزيت.
- إجراء دراسات سريرية ونسجية مناعية كيميائية باستخدام واسمات نوعية لمعرفة طبيعة آلية ونتائج التأثيرات الانسماوية الجينية الناجمة عن ارتشاح وحدات التماثر نحو لب السن المرمم.

7=المراجع

- About I, Camps J, Mitsiadis T A, Bottero M-J, Butler W, Franquin J-C, Influence of Resinous Monomers on the Differentiation in Vitro of Human Pulp Cells into Odontoblasts. *J Biomed Mater Res (Appl Biomater)* 2002, 63: 418–423.
- Bakopoulou A, Leyhausen G, Volk J, Koidis P, Geurtsen W, Effects of resinous monomers on the Odontogenic differentiation and mineralization potential of highly proliferative and clonogenic cultured apical papilla stem cells. *dental materials* 2012, 28, 327–339.
- Bakir S, Bakir E P, Yildirim Z S, Biocompatibility of Dental Adhesives, 2017, Vol. 4, Issue 4.
- Barelli-Corbo F, Acciavatti B, Amalfitano A, Arcovito A, Callà C, Cordaro M, Effects of Two Methacrylic Monomers on Pulp Cells Differentiation Capability: A Preliminary In Vitro Study. *Mater Sci Eng J.* 2017; 1(1): 1003.
- Bonizzi G, Cicalese A, Insinga A, and Pelicci P G., The emerging role of p53 in stem cells, (2011),*Trends in Molecular Medicine*, doi:10.1016/j.molmed.2011.08.002: 1–7.

- Castan R, Gato P, Herna N, Rodriguez EG, Silva P, Silva N, Pulpal and Periapical Response After Restoration of Deep Cavities in Dogs' Teeth With Filtek Silorane and Filtek Supreme XT Systems. *Operative Dentistry*, 2013, 38(1), 73–81.
- Chan K H S, Mai Y, Kim H, Tong K C T, Desmond Ng, Hsiao J C M, Review: Resin Composite Filling, *Materials* 2010, 3, 1228–1243.
- Cobanoglu N, Ozer F, Demirci M, Ozdemir O, Imazato S, Histopathological evaluation of human pulp response to two self-etching resins". *Journal of Restorative Dentistry*, 2015, Vol. 3, Issue 1.
- Demirci M, Hiller K-A, Bosl C, Galler K, Schmalz G, Schweikl H, The induction of oxidative stress, cytotoxicity, and genotoxicity by dental adhesives. *dental materials* 2008, 24, 362–371.
- Donehower L A., Using Mice to Examine p53 Functions in Cancer, Aging, and Longevity, (2009), Cold Spring Harb Perspect Biol doi: 10.1101/cshperspect.a001081.
- Galler K.M., Schweikl H., Hiller K.-A., Cavender A.C., Bolay C., D'Souza R.N., and Schmalz G., TEGDMA Reduces Mineralization in Dental Pulp Cells. *J Dent Res* 2011, 90(2):257–262.
- Goldberg M, "In vitro and in vivo studies on the toxicity of dental resin components: a review", *Clin Oral Invest* 2008, 12:1–8.
- Hargreaves, Kenneth M. and Goodis, Harold E, *Seltzer and Bender's Dental Pulp*, Second Ed. Quintessence Publishing Co Inc. (2002).
- Hervás-García A, Martínez-Lozano MA, Cabanes-Vila J, Barjau-Escribano A, Fos-Galve P. Composite resins. A review of the materials and clinical indications. *Med Oral Patol Oral Cir Bucal* 2006;11:E215–20.
- Kabel A M, Tumor Protein p53: Novel Aspects of an Old Tumor Marker, *Journal of Cancer Research and Treatment*, 2015, Vol. 3, No. 2, 25–27.
- Kim E C, Park H, Lee S-I, Kim S-Y, "Effect of the Acidic Dental Resin Monomer 10-methacryloyloxydecyl Dihydrogen Phosphate on Odontoblastic Differentiation of Human Dental Pulp Cells", *Basic & Clinical Pharmacology & Toxicology*, 2015, 117, 340–349.
- Kouros P, Koliniotou-Koumpia E, Koulaouzidou E, Helvatjoglu-Antoniades M, Tziaras D." Pulp response to dentine adhesives: A study on mature human pulps. *Eur J Dent* 2013, 7:26–32.
- Kwon J H, Park H C, Zhu T, Yang H-C," Inhibition of Odontogenic differentiation of human dental pulp cells by dental resin monomers", *Biomaterials Research* 2015, 19:8.
- Li, L T., Jiang, G., Chen, Q., Zheng, J N., Ki-67 is a promising molecular target in the diagnosis of cancer, (2015), *Molecular Medicine Reports*, 11(3): 1566–1572.
- Lourdes M, Accorintea R, Loguercio A, Reisb A, Muencha A, Araujo V C, Adverse effects of human pulps after direct pulp capping with the different components from a total-etch, three-step adhesive system, *Dental Materials* 2005, 21, 599–607.

- Moharamzadeh K, Brook I M, Van Noort R, Biocompatibility of Resin-based Dental Materials, Materials 2009, 2, 514–548.
- Nocca G, Callà C, Martorana G E, Cicillini L, Rengo S, Lupi A, Cordaro M, Gozzo M L, Spagnuolo G, Effects of Dental Methacrylates on Oxygen Consumption and Redox Status of Human Pulp Cells, BioMed Research International, Volume 2014, Article ID 956579, 10 pages.
- Nowicka A, Aagocka R, Lipski M, Parafiniuk M, Grochowicz K, Sobolewska E, Witek A, Buczkowska-Radlińska J, Clinical and Histological Evaluation of Direct Pulp Capping on Human Pulp Tissue Using a Dentin Adhesive System, BioMed Research International, Volume 2016, Article ID 2591273, 9 pages.
- Roger L., Jullien L., Gire V., Roux P., Gain of oncogenic function of p53 mutants regulates E-cadherin expression uncoupled from cell invasion in colon cancer cells, (2010), Journal of Cell Science 123, 1295–1305.
- Schweikl H., Spagnuolo G., and Schmalz G., Genetic and cellular toxicology of dental resin monomers, Journal of Dental Research, 2006, Vol. 85, No. 10, pp. 870–877.
- Saraswati W, Widjiastuti I, Rukmo M, Wahjuningrum D A, The expression of HMGB1 in Dentin Pulp Complex Induced by Resin Monomer HEMA, International Medical Device and Technology Conference 2017.
- Scholzen, T & Gerdes, J. The Ki-67 protein, from the known and the unknown. Journal of cellular physiology, 2000, 182(3): 311–322.
- Silva M, Calvo A M, Sipert C R, Dionísio T J, Navarro M F de Lima, Att M T, Santos C F, Dental Pulp Fibroblasts Response after Stimulation with HEMA and Adhesive System. Brazilian Dental Journal 2018, 29(5): 419–426.
- Soares D G, Basso F G, Scheffel D L S, Giro E M A, Costa C A S, Hebling J, Biocompatibility of a restorative resin-modified glass ionomer cement applied in very deep cavities prepared in human teeth, GENERAL DENTISTRY, July/August 2016, p: 33–40.
- Sobecki, M., Mrouj, K., Camasses, A., Parisi, N., Nicolas, E., Lleres, D., Gerbe, F., Prieto, S., Krasinska, L., David, A., Eguren, M., The cell proliferation antigen Ki-67 organizes heterochromatin, 2016. Elife 5, 7(5): 137.
- Tay FR, Pang KM, Gwinnett AJ, Wei SH. Scanning electron microscopic study of the extent of resin penetration into human coronal dentin following a total-etch technique *in vivo*. Cells Mater 1994;4:317–29.
- Yalcin M, Ulker M, Ulker E, Sengun A, Evaluation of cytotoxicity of six different flowable composites with the methyl tetrazolium test method, European Journal of General Dentistry 2013, Vol. 2, Issue 3.
- Yasuda Y, Inuyama H, Maeda H, Akamine A, Nor J E, Saito T, Cytotoxicity of one-step dentin-bonding agents toward dental pulp and odontoblast-like cells, Journal of Oral Rehabilitation 2008, 35; 940–946.